

“Мягкие” краевые состояния в неоднородных 2D электронных системах

С. Назин, В. Шикин

Поступила в редакцию 14 июля 2009 г.

После переработки 28 января 2010 г.

Обсуждаются детали структуры краевых электронных состояний в ограниченных внешними полями 2D заряженных системах (электронных или дырочных) в условиях обращения в нуль граничной плотности подвижных носителей заряда. Показано, что вдоль этих границ возникают так называемые “мягкие” краевые электронные состояния (МКС). Анализируются детали структуры и спектра, обозначены возможные эффекты с участием МКС.

В работе авторов [1] отмечено, что в силу некоторых естественных причин краевые электронные состояния (КЭС) для 2D электронных систем в магнитном поле заметно искажаются кулоновскими эффектами разной природы. Несмотря на это, во всех рассмотренных в [1] примерах поворотная точка налетающих из “объема” на границу квазичастиц оставалась внутри или на границе проводящей зоны. Существует, однако, целый класс задач с кулоновскими возмущенными КЭС, в которых одна из поворотных точек, участвующих в формировании краевого состояния, оказывается вне пределов проводника. Речь идет о вырожденных 2D системах разной геометрии, полученных с использованием *split-gate* технологии (см., например, [2, 3]), гетероструктурах с селективным травлением донорной части [4, 5], классических 2D электронных системах на поверхности жидкого гелия [6] и т.п. Характерным свойством подобных 2D конфигураций, называемых нами мягкими, является нулевая плотность электронов на периметре проводящей области. Наличие в подобных условиях краевой ветви возбуждений в литературе до сих пор не обсуждалось, хотя “освоение” проблемы заметно разнообразит набор эффектов с участием КЭС. Определение и простейшие свойства возбуждений, именуемых ниже мягкими краевыми состояниями (МКС) обсуждаются в данной работе. Дополнительно отметим и формальную сторону дела. Существующая картина КЭС [7–9] предполагает идеальное бездиссипативное отражение электронов от границы проводящей области. В волновых терминах “бездиссипативное отражение” означает обращение волновой функции электрона в нуль на границе проводящей области. Идеальный сценарий, безусловно, верен, пока расстояние Δ между соседними поворотными точками R_1, R_2 достаточно велико:

$$\Delta = |R_1 - R_2| \gg R_c, \quad (1)$$

где R_c – характерный циклотронный радиус задачи. В общем же случае с повышением энергии КЭС неравенство (1) становится плохо выраженным, и механизм отражения электронов от границы проводящей области, возможно, перестает быть идеальным, требуя специального рассмотрения. Пример МКС подтверждает эту гипотезу.

1. Начнем с описания подходящей 2D системы, содержащей мягкие границы. Пусть для определенности речь идет об электронном канале, сформированном удерживающим симметричным потенциалом $V(x)$. В электростатическом приближении

$$V(x) + e\varphi(x) = \text{const}, \quad \int_{-b}^{+b} n(x) dx = N, \quad (2)$$

$$-b \leq x \leq +b,$$

где $\varphi(x)$ – электропотенциал электронов в канале, N – заданное на единицу длины канала число электронов.

Требование (2) является интегральным уравнением относительно локальной плотности $n(x)$ электронов. Его решение имеет вид

$$\frac{e^2}{\kappa} n(x) = -\frac{1}{\pi^2} \sqrt{b^2 - x^2} \int_{-b}^{+b} \frac{ds V'(s)}{\sqrt{b^2 - s^2} (s - x)}, \quad (3)$$

κ – диэлектрическая постоянная среды. Располагая (3) и вторым из условий (2), нетрудно посчитать величину $2b$ в терминах N и деталей поведения $V(x)$. Канал (3) называется нами “мягким” в связи с тем, что плотность $n(x)$ на его концах обращается в нуль, а ширина канала $2b$ варьируется в функции от N и $V(x)$.

Вдоль бортов $n(x)$ (3), то есть в окрестности точек $\pm b$, на выходе из области, занятой электронами, суммарный потенциал $V(x) + e\varphi(x)$ терпит изломы,

$$[V'(x) + e\varphi'(x)] = \begin{cases} = 0, & x > 0 \\ \neq 0, & x < 0 \end{cases} \quad (4)$$

(начало координат задачи (2), (3) перенесено здесь в точку $x = -b$). В магнитном поле, нормальном плоскости канала, вдоль линий $x = \pm b$ должны возникать МКС, существование и свойства которых во многом похожи на “жесткие” КЭС [7–9]. Разница лишь в том, что известные КЭС появляются на границе с вертикальной стенкой ($V' \rightarrow \infty$). Здесь же речь идет о ситуации $V' \neq \infty$. Прилагательное “мягкие” подчеркивает конечность излома потенциального профиля, формирующего бегущие вдоль бортов электронные орбиты. Схематический вид одной из “мягких” краевых траекторий изображен на рис.1.

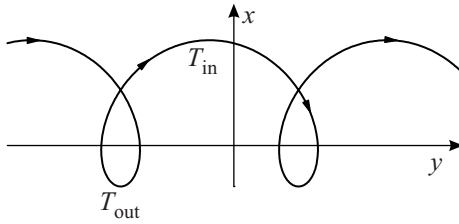


Рис.1. Качественный вид траекторий 2D электронов в магнитном поле при их движении в мягком краевом режиме

2. Проблема возможной локализации “замагниченных” электронов в окрестности излома $V'(x) + e\varphi'(x)$ в общем случае решается с привлечением волнового уравнения. Однако для понимания физики дела и ориентировки в числах имеет смысл ее квазиклассическая трактовка. В этом приближении центральное место занимает период T циклического движения электрона вдоль границы $x = 0$:

$$T = T_{\text{in}} + T_{\text{out}}, \quad (5)$$

где T_{in} – часть цикла, проводимая электроном внутри полосы (то есть в области $x > 0$) на орбите с $R \gg l_H$, а T_{out} – соответствующее время за его пределами в зоне $x < 0$.

Величина T_{in} определяется по аналогии с классической задачей о магнитных КЭС:

$$T_{\text{in}} = \frac{\theta}{\omega_c} = \frac{2}{\omega_c} \arctan\left(\frac{v_x}{v_y}\right), \quad (6)$$

где θ – угловой сектор, характеризующий длину скачка электрона вдоль поверхности в зоне $x > 0$, ω_c – циклотронная частота, компоненты скорости v_y, v_x при пересечении электроном границы $x = 0$.

Для расчета T_{out} используем уравнения движения электрона в форме [10]

$$\dot{y} + i\dot{x} = a \exp(-i\omega_c t) + \frac{cE_x}{H},$$

$$E_x = [V'(0) + e\varphi'(0)]/e, \quad a = b \exp(\alpha), \quad (7)$$

где a – комплексная величина, b, α – действительные числа. Их значение определяется требованием: в начальный момент движения в зоне $x < 0$ скорости \dot{y}, \dot{x} совпадают с их значениями v_y, v_x при пересечении электроном границы $x = 0$. В результате

$$b = v_x / \sin(\alpha), \quad v_x = [v_y / \sin(\alpha)] \cos(\alpha) + \frac{cE_x}{H},$$

$$\cot \alpha = \frac{v_y}{v_x} - \frac{cE_x}{Hv_y}. \quad (8)$$

Уравнениям (7), (8) отвечают координаты электрона при его движении по трохоиде в зоне $x < 0$:

$$y = b \left[\cos(\alpha) \frac{\sin(\omega_c t)}{\omega_c} - \sin(\alpha) \frac{\cos(\omega_c t)}{\omega_c} \right] + \frac{cE_x}{H} t + C_y, \quad (9)$$

$$x = -b \left[-\cos(\alpha) \frac{\cos(\omega_c t)}{\omega_c} + \sin(\alpha) \frac{\sin(\omega_c t)}{\omega_c} \right] + C_x. \quad (10)$$

Константы C_y, C_x выбираются из требований

$$y(0) = 0, \quad x(0) = 0 \quad \text{или}$$

$$C_y = b \frac{\sin(\alpha)}{\omega_c}, \quad C_x = b \frac{\cos(\alpha)}{\omega_c}. \quad (11)$$

Располагая формулами (5)–(11), можно определить время T_{out} , проводимое электроном на петле трохоиды в зоне $x < 0$. Это время отвечает появлению электрона на границе $x = 0$ после того, как он вошел в зону $x < 0$ с начальными условиями (6), (11). В интересующих нас терминах это время следует из уравнения (10) в момент $t = T_{\text{out}}$:

$$x(t = T_{\text{out}}) = 0, \quad \text{или}$$

$$\cos(\Omega T_{\text{out}}) + \tan(\alpha) \sin(\Omega T_{\text{out}}) = 1. \quad (12)$$

Условие

$$\omega_c [T_{\text{in}} + T_{\text{out}}] < 1 \quad (13)$$

означает, что в целом время электрона на цикле сложной краевой орбиты меньше циклотронного, как и должно быть для траектории, на которой частица отражается от границы системы, не успев совершить один оборот по окружности циклотронного радиуса.

Возвращаясь к началу статьи, нетрудно видеть, что поворотная точка на интервале T_{out} отвечает движению электрона в вакууме вне проводящей зоны. Эта деталь, отмеченная выше, может рассматриваться как атрибут МКС.

Информация (6)–(12) достаточна для обсуждения на уровне КЭС-МКС одного из самых показательных краевых эффектов – геометрического квантования

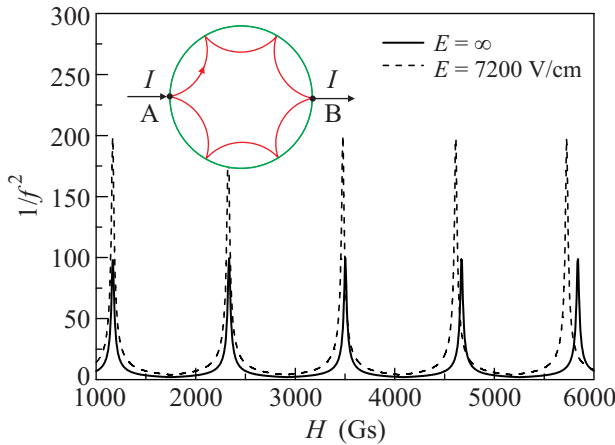


Рис.2. Положение идеальных и “мягких” резонансов в функции от магнитного поля. Расчеты проведены для квантовой точки радиусом $R = 0.6$ мкм и фермиевской скорости электронов в ней $v_F = 3 \cdot 10^7$ см/с

(см. вставку на рис.2), возникающего из требования, чтобы на длине периметра L 2D системы между точкой входа тока (A) и точкой его выхода (B) укладывалось целое число длин одного прыжка l электрона вдоль этого периметра:

$$L/l = n, \quad n = 1, 2, 3 \dots \quad (14)$$

Эффект (14) в разных вариантах, от большого числа измерений магнетоосцилляций ВАХ между точечными электродами на поверхностях трехмерных металлов и до идейно аналогичных явлений в 2D системах, наблюдался разными авторами (см., например, [11–13]). Последнюю из этой серии публикаций [14] отметим специально, так как геометрия этого эксперимента используется нами для выяснения разницы между следствиями (14) для КЭС и МКС. Ясно, что ток I через 2D систему, изображенную на рис.2, должен иметь резкие максимумы, когда отношение L/l близко к целому числу. Графики на рис.2 показывают, как изменяется отклонение L/l от ближайшего целого числа, то есть величина

$$f = \left| \frac{L}{l} - \left[\frac{L}{l} + 0.5 \right] \right|$$

(точнее говоря, обратный квадрат f ; здесь $[a]$ – целая часть числа a) в зависимости от магнитного поля для случая вертикального барьера (сплошная кривая) и “мягкого” удерживающего потенциала при использовании в условии (14) длины прыжка при конечном значении $E = [V'(x) + e\varphi'(x)]_0$ (сплошная кривая). Очевидно, разница между сплошной и штриховой кривыми нарастает с ростом магнитного поля. Резонансы вида (14) хорошо видны на ВАХ из [14].

Поэтому проследить за отличием между сплошной и штриховой кривыми не составляет труда.

3. Спектр $\epsilon_n(p_{\parallel})$ МКС также чувствителен к степени “мягкости” границы. В квазиклассическом приближении [15]

$$\frac{\partial \epsilon_l}{\partial l} \simeq \frac{2\pi}{T(\epsilon_l, p_{\parallel})} \hbar, \quad (15)$$

где $T(\epsilon_l, p_{\parallel})$ – полный период циклического движения электрона вдоль границы $x = 0$, p_{\parallel} – сохраняющаяся при движении электрона вдоль границы величина импульса, l – номер уровня Ландау, с которым плавно сопряжено значение $\epsilon_n(p_{\parallel})$,

$$T(\epsilon_l, p_{\parallel}) = T_{\text{in}} + T_{\text{out}},$$

T_{in} – часть цикла, проводимая электроном внутри полосы (то есть в области $x > 0$) на орбите с $R \gg l_H$, берется из (6), T_{out} – соответствующее время – за его пределами в зоне $x < 0$ – определено в (12). $E_x = [V'(x) + e\varphi'(x)]_0$ – электрическое поле за пределами 2D системы, которое полагается постоянным (в пределе $E_x \rightarrow \infty$ задача сводится к известной, см. [7–9]). В процессе движения по трохоиде компоненты v_y, v_x связаны между собой условием

$$\epsilon_l(p_{\parallel}, p_{\perp}) = \frac{p_{\parallel}^2}{2m} + \frac{p_{\perp}^2}{2m} \quad (16)$$

с сохранением импульса электрона p_{\parallel} .

Возвращаясь к эффекту (14), можно, зная спектр (15), оформить это явление в форме баллистического выражения для ВАХ:

$$I = e \int_0^{+\infty} v(p) f(p) dp, \quad v = \partial \epsilon / \partial p, \quad (17)$$

v – скорость квазичастицы, p – ее импульс, $f(p)$ – функция распределения электронов по непрерывным состояниям МКС. Пределы $0, \infty$, выбранные в определении тока (17), отражают киральность задачи (обычно пределы должны быть симметричны, а интеграл вида (17) для равновесной функции распределения обращается в нуль).

Явный вид $f(p)$ возникает, если воспользоваться общим, фермиевским выражением для этой функции и учесть явное определение химпотенциала ζ , формируемое свойствами 2D системы вдали от свободной границы:

$$\nu = \sum_l f \left[\hbar \omega_c \left(l + \frac{1}{2} \right) - \zeta \right]. \quad (18)$$

В классической области $\nu \ll 1$, которой мы и ограничимся,

$$\zeta \simeq \frac{1}{2} \hbar \omega_c - T \ln 1/\nu, \quad f_0(p) \simeq \nu \exp[-\epsilon(p)]/T. \quad (19)$$

При работе со сплошным спектром и $f(p)$ (19) ток (17) оказывается конечным, отвечая диамагнитному краевому значению вдоль одного из краев $\pm b$ (диамагнитный ток, циркулирующий вдоль периметра образца замкнутой геометрии). Стационарная ВАХ в баллистическом приближении возникает теперь, как обычно, нагрузкой одного из плечей замкнутого канала внешним потенциалом V :

$$I(V) = e \int_0^{+\infty} v(p)[f(p + eV) - f(p)]dp = \\ = e \int_0^{+\infty} v(p)f_0(p)[\exp(+eV/T) - 1]dp. \quad (20)$$

Учет дискретности спектра (14) в определении ВАХ (20) не составляет труда (интеграл по импульсам надо заменить на сумму по разрешенным значениям p_l из (14)).

Резюме. Предлагается обобщение теории КЭС, учитывающее конечность барьера, ограничивающего движение замагниченных электронов границами проводящей зоны. Найден квазиклассический спектр таких МКС квазичастиц, переходящий для барьера бесконечной высоты в известный спектр КЭС. Построена краевая ВАХ, содержащая геометрические резонансы краевого происхождения, чувствительные к разнице между КЭС и МКС. Введение МКС заметно расширяет круг задач с участием краевых электронных состояний. Кроме явлений на идеально резких границах, трудоемких в изготовлении, речь идет о вырожденных 2D системах разной геометрии, полученных с использованием *split-gate* технологии, гетероструктурах с селективным травлением донорной

части, классических 2D электронных системах на поверхности жидкого гелия и т.п.

Авторы благодарны С.В. Иорданскому и В.Т. Долгополову за обсуждение полученных результатов. Работа поддержана грантом Российского фонда фундаментальных исследований # 09-02-00894-а и Программой Президиума РАН "Квантовая физика конденсированного состояния".

-
1. В. Шикин, С. Назин, Письма в ЖЭТФ **90**, 69 (2009).
 2. K. Berggren et al., Phys. Rev. Lett. **57**, 1769 (1986).
 3. Van Wees et al., Phys. Rev. Lett. **60**, 848 (1988).
 4. V. B. Shikin, S. S. Nazin, D. Heitman, and T. Demel, Phys. Rev. B **43**, 11903 (1991).
 5. V. Hackens, F. Delfosse, S. Faniel et al., Phys. Rev. B **66**, 241305(R) (2002).
 6. M. W. Cole, Rev. Mod. Phys. **46**, 451 (1974).
 7. И. Лифшиц, А. Косевич, ЖЭТФ **29**, 743 (1955).
 8. М. С. Хайкин, ЖЭТФ **39**, 212 (1960).
 9. R. Prange and T. Nee, Phys. Rev. **168**, 779 (1968).
 10. Л. Д. Ландау, Е. М. Лифшиц, *Теория поля*, М.: Наука, 1972.
 11. V. Tsoi, J. Bass, and P. Wyder, Rev. Mod. Phys. **71**, 1641 (1999).
 12. H. Linke, L. Christensson, P. Omling, and P. E. Lindelof, Phys. Rev. B **56**, 1440 (1997).
 13. P. Boggild, A. Kristensen, H. Bruus et al., Phys. Rev. B **57**, 15408 (1998).
 14. М. Ю. Мельников, В. Т. Долгополов, В. С. Храпай, Д. Шух, Письма в ЖЭТФ **88**, 40 (2008).
 15. Л. Д. Ландау, Е. М. Лифшиц, *Квантовая механика*, М.: Наука, 1973.